

Silicon Carbide 抵抗素子의 交流 非線型特性에 관한 연구

논 문

21~2~4

An Experimental Research on Nonlinear Characteristics of Disk-type Siliconcarbide Resistors with the Sinusoidal Alternating Currents.

조 철* · 오 명 환**

(Chul Cho, Myung Hwan Oh)

Abstract

The main focus of this paper is on the study of voltage-current characteristics in disk-type siliconcarbide resistors. For each of the 15 different sintering and other process conditions, 10 samples were prepared. Experiments performed with each sample consist of supplying sinusoidal AC current of a few milliamperes after conditioning-shots with 400 ma.

Experimental data were examined with regard to the relationship between the process conditions and the nonlinear resistivity. The examination suggests several possibilities of improving the nonlinear characteristics of siliconcarbide resistors while maintaining low resistance. One of those possible conditions is to sinter the powdered SiC and the binding materials approximately 2 hours in nitrogen.

In addition to describing the nonlinear characteristics of siliconcarbide resistors, this paper also presents the distortion characteristics of current waves vs. the nonlinear exponent, n. Photographical results show that the more nonlinear characteristics samples have, the more distorted current waves are.

1. 서 론

Siliconcarbide(SiC)를 주성분으로 한 烧結體는 물리적인 分解溫度가 2800°C 정도나 되고 高溫에서도 化학적으로 安定하며 Mohr's 硬度가 9~10 정도이기 때문에 흔히 耐熱體나 研磨體로만 사용되었다.¹⁾

그러나 1930년에 Mc Eachron²⁾이 최초로 Thyrite라고 命名된 SiC 烧結抵抗體를 避雷器用 非線型 抵抗素子로 이용한 이후부터 SiC 烧結抵抗體는 避雷器의 特性要素로서 必須不可缺한 품목이 되었으며 최근에 와서는 電氣點의 Arc 消去用 및 Varistor用 전기재료로서도 많이 이용되고 있다.^{3~6)}

SiC 粒子의 結晶構造와 導電機構에 관해서는 1930년에 Slepian⁷⁾이 처음으로 연구결과를 발표하였으며 그 이후에도 鶴山·菊地⁸⁾와 Kendall⁹⁾ 등의 많은 연구자들이 SiC 單結晶의 非線型抵抗特性에 관하여 실험을 행

하였다. 특히 法貴¹⁰⁾, Schwertz¹¹⁾, 龜田¹²⁾ 및 鶴見¹³⁾ 등은 SiC 烧結抵抗體의 전기적 특성에 관하여 많은 有用한 실험결과를 발표한 바 있다.

그러나 지금까지 발표된 대부분의 연구자료들은 주로 SiC 烧結抵抗體의 크기와 형태가 衝擊電壓-電流特性에 미치는 전기적 영향에 관한 것이었으며 商用周波數의 交流電壓-電流特性에 관한 연구결과는 별도로 발표된 예가 없다. 또한 SiC 烧結抵抗體의 각종 製造條件에 관한 구체적인 실험자료와 SiC 烧結抵抗體의 製造條件들이 試料의 전기적 특성에 미치는 영향에 관해서는 鶴見¹³⁾가 概略的인 측정자료를 발표했을 뿐이다.

본 연구에서는 SiC抵抗素子의 각종 제조조건이 交流非線型抵抗特성에 미치는 영향에 관하여 실험을 행하였으며 그 결과를 종합하여 交流非直線性과 제조조건의 관계를 제시하였다.

著者들은 이와같은 실험을 위하여 직경과 높이가 각각 19mm인 圓柱型抵抗試料를 물리적으로 相異한 제조 조건별로 제작하였으며 交流小電流(4~12mA) 범위

* 정희원 : 서울대학교 공과대학 전기공학과 교수

** 정희원 : 한국과학기술연구소 전기기기연구실

표 1. SiC 粉末의 化學分析 結果(日本 測定資料)

Table 1. Chemical analysis results of the powdered SiC. (Data in Japan)

構成物質 SiC 種類	SiC [%]	Fe [%]	Al [%]	CaO [%]	MgO [%]	遊離Si [%]	遊離C [%]	SiO ² [%]
黑色 SiC	86~92	0.6~2.0	0.8~2.8	0.2~3.5	0.1~0.4	2~2.6	1.3~4.2	0.1~1.4
綠色 SiC	95~96	0.1~0.3	0.1~0.7	0.3~2.1	0.1~0.5	0.1~0.5	0.7~1.2	0.7~1.0

에서 非線型特性을 관찰하였다. 또한 100mA導電時의試料抵抗値를 측정하여 각 제조조건과의 관계를 검토하였으며, 非直線指數의 크기에 따른導電電流波形의 변화를 Oscillogram으로 촬영하였다.

2. 이론적 고찰

純粹한 SiC는 無色透明하며 常溫에서는 거의 절연특성을 갖는다. 이 때에는 傳導帶와 充滿帶間に 일함수의 차이가 대략 $3.1 \pm 0.2\text{eV}$ 정도로서 Ge이나 Si의 $0.78 \sim 1.2\text{eV}$ 에 비하면 3~4배나 더 크다.

그러나 공업적으로 얻어지는 SiC는 일종의 不純物半導體로서 그 대표적인 불순물의 성분은 표 1과 같다.

보통 褐色으로 着色된 SiC는 P型 半導體의 특성을 나타내며 고유저항은 $\rho = 0.55 \sim 1.6\Omega \cdot \text{cm}$ 정도이다. 또한 綠色으로 着色된 SiC는 N型 半導體의 특성을 갖고며 고유저항의 크기는 대략 $\rho = (0.3 \sim 1.0) \times 10^9 \Omega \cdot \text{cm}$ 로서 褐色 SiC의 수배배나 된다.

그림 1은 SiC-SiC 粒子間의 非線型 電壓-電流特性圖이다.

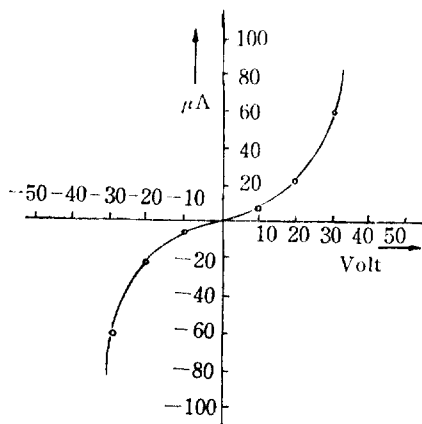


그림 1. SiC-SiC 接點間의 電壓-電流特性
Fig. 1. Contact voltage and current characteristics of the SiC element

일반적으로 SiC 粒子間의 電氣的 非線型 抵抗特性을 函數式으로 표시하려면 粒子의 Film Resistance와 Constriction Resistance 간의 定量的 관계가 밝혀져야

하며 한편으로는 電界放出說¹⁴⁾ 등과 같은 導電學說의 이론적 해석이先行되어야 할 것이다. 그러나 아직까지는前述한 모든 것이 現象論的 學說에 불과하기 때문에 본 연구에서는 SiC 抵抗體의 非線型 特성을 表記함에 있어 Mc Eachron 이 제안한 대로 $V = K \cdot I^n$ 非直線關係式을 이용하였다.

윗식에서 V 와 I 는 각각 印加電壓과 電流의 크기이며 K 와 n 은 非直線係數 및 非直線指數로서 抵抗體의 제조조건, 抵抗體의 크기와 形狀, 사용온도 및 濕度등의 요인에 따라서 변화하는 因子들이다.

Mc Eachron 的 電壓-電流 관계식을 對數方程式으로 變換하면,

$$\log V = n \cdot \log I + \log K \quad (1)$$

으로 되고 이것은 一次函數로 解析할 수 있으므로,

$$\log K = [\log V]_{t=1} \quad (2)$$

$$n = \left[\frac{\Delta \log V}{\Delta \log I} \right]_{t, v > 0} \quad (3)$$

의 관계식이 성립한다. 따라서 兩對數方眼紙에 측정된 電壓-電流值를 圖示하면 K 값과 n 값을 圖上에서 산출할 수 있다.

3. 實驗

(1) 사용원료

실험에 사용된 SiC 粉末은 日本 昭和電工社製로서 研磨砥石用으로 우리나라에 수입된 것을 시중에서 구입한 것이다. 그 純度는 화학분석결과 표 2와 같이 약 98%의 SiC로 나타났으나 색갈이 褐色인 점으로 보아 P型 半導體로 생각된다. 이들은 미국 표준규격의 Sieve로 screening 되었으며 100~150mesh와 250~325mesh의粒度로 구분하여 사용되었다.

結合劑는 국산 Bentonite系 粘土로서 그 화학분석결과는 SiO_2 66.7%, Al_2O_3 15.0%, Fe_2O_3 1.7%, MgO 1.1%, CaO 0.35% 정도이었으며 使用粒度는 200mesh로 하였다.

물유리(水硝子)는 日本製로서 JIS K1408의 1號($\text{SiO}_2/\text{Na}_2\text{O}$ 의 比 2.1($36 \sim 38\%$ $\text{SiO}_2/17 \sim 18\%$ Na_2O), 比重 1.47)에 해당되는 것을 구입하여 사용하였다.

(2) 試料의 제작

측정용 試料는 표 3과 같은 제조조건별로 각각 10개

표 2. 市中構入한 研磨砥石用 SiC 의 化學分析結果

Table. 2. Component parts of the SiC powder used for experiments.

構成物質	構成比 [%]
SiC	98.7
SiO ₂	0.1
R ₂ O ₃	0.2
MgO	혼적
Ig · Loss	0.28

썩 제작하였으며 SiC 粉末과 粘土를 重量比로 취한 다음 이것을 V型 混合機에서 1시간 동안 混合하였다. 다음에, 물유리를 그 體積이 2배가 되도록 물에 풀어서 이미 混合된 粉末에 添加한 후 계속하여 다시 1시간 혼합하였다. 이와 같이 혼합된 材料를 12gr. 씩 저울로 단아서 직경 19mm의 圓筒型 다이에 넣고 加壓成型하였다. 加壓成型은 수동식 油壓機로 행하였으며 烧結은 온도조절이 편리한 箱子型 글로마電氣爐에서 행하였다. 상세한 제조조건은 표 3에 기술한 바와 같으며 이를 요약하면 아래와 같다.

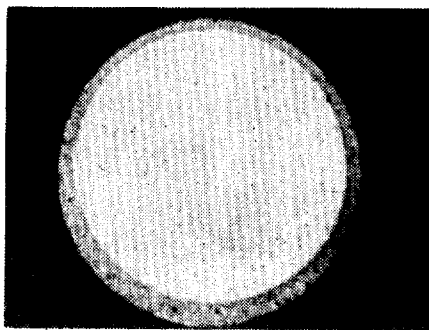
가. SiC의 重量變化.....75w/o~85w/o

나. SiC의 粒度變化.....100/150mesh 70%와 200~

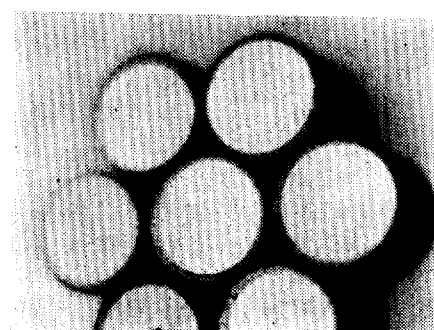
표 3. SiC 抵抗試料의 製造條件

Table. 3. Process conditions of the SiC testpieces

試料番號	SiC 配合比率 [%]			結合劑比率 [%]			成形壓力 [Ton/cm ²]	燒結溫度 [°C]	燒結時間 [時間]	燒結 霧圍氣	冷却方式	備考
	#100 ~150	#200 ~350	重量比	粘土	물유리	黑鉛						
1	70	30	80	16	3	1	1	1050	1	공기 중	爐冷	燒結不完全
2	70	30	80	16	3	1	1	1150	1	//	//	
3	70	30	80	16	3	1	1	1250	1	//	//	
4	70	30	80	16	3	1	1	1300	1	//	//	
5	70	30	80	16	3	1	1	1350	1	//	//	
6	70	30	80	16	3	1	1	1300	0.5	//	空冷	
7	70	30	80	16	3	1	1	1300	1	질소 중	爐冷	
8	70	30	80	16	3	1	1	1300	0.5	공기 중	//	
9	70	30	80	16	3	1	1	1300	2.0	//	//	
10	70	30	80	16	3	1	1	1300	4.0	//	//	
11	70	30	80	16	3	1	1.5	1300	1	//	//	
12	70	30	80	16	3	1	2.0	1300	1	//	//	
13	70	30	75	21	3	1	1	1300	1	//	//	
14	70	30	85	11	3	1	1	1300	1	//	//	
15	30	70	80	16	3	1	1	1300	1	//	//	成形性不良



(1) 4배로 촬영한 것



(2) 1.5배로 촬영한 것

그림 2. SiC 저항재료의 接電面사진

Fig. 2. Al-coated contact surface of SiC testpiece.

350mesh 30%, 100/150mesh 30%와 200/350mesh 70%.

다. 粘土量의 變化……11w/o~21w/o

라. 成形壓力의 變化……1ton/cm²~2ton/cm²

마. 燒結溫度의 變化……1050°C~1350°C

바. 燒結時間의 變化……0.5時間~4時間

사. 燒結雰圍氣의 變化……空氣中 및 窒素中

아. 冷却方式의 變化……空冷 및 爐冷

(3) 試料의 표면처리

燒結直後의 SiC 抵抗試料는 표면이 유통불통하므로
그것을 일정하게 하고 接電面을 平滑하게 하기 위하여

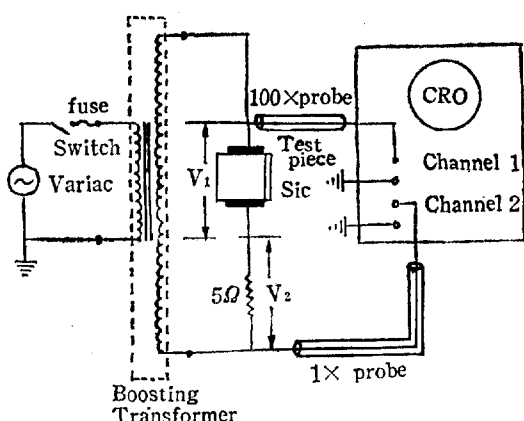


그림 3. SiC 저항시료의 전기특성 시험회로

Fig. 3. Circuit for V I characteristics measurements of the SiC resistors.

표 4. 電氣特性試驗에 使用된 實驗機器

Table. 4. Equipments used for electrical characteristics test of SiC

實驗機器 或裝置名	製造會社 或型名	規格及感度
Cathode-Ray Oscilloscope with Plug-in Units	Tektronix, Model 564B.	0.1mv/div~10v/div in 16 Steps, cal. accuracy within 3%, 1 MeΩ input impedance, dual channel trace
Variac	General Radio, Type W1OMT 3W.	0~140V, 0~10A
Decade Resistor	General. Radio, Type 1433.	0~999.99Ω in 0.01Ω steps, ±0.01% accuracy.
Transformer	한영공업주식회사	120V/1600V. 3KVA.
電極		黃銅板, 直徑 5cm. 두께 2mm
100X Probe 或 1X voltage probe	Tektronix, Type P6007.	1.5KV DC or rms, 100X attenuation factor, ±3% accuracy

다이어몬드침로시 兩側 接電面을 研磨하였다.

또한 전기특성실험을 행할 때에 電極과 接觸抵抗을

표 5. SiC 烧結抵抗體의 電氣的特性 測定結果

Table. 5. Data for electrical characteristics of the sintered SiC resistors.

試料番號	非直線性測定結果値		100mA導電時의 電氣抵抗 [Ω]	備考	
	k	n			
1	—	—	—	燒結不完全으로	試驗不能
2	—	—	—	高抵抗・絕緣體	狀態
3	1,480±80	0.33±0.02	7,000±300	400mA	交流安定化處理
4	980±90	0.40±0.01	3,600±140	"	"
5	1,350±100	0.38±0.01	5,200±350	"	"
6	1,200±40	0.32±0.02	5,600±300	"	"
7	520±20	0.31±0.01	2,500±170	"	"
8	820±80	0.43±0.01	2,900±240	"	"
9	1,290±100	0.32±0.02	5,900±400	"	"
10	790±50	0.41±0.02	3,100±100	"	"
11	700±50	0.45±0.03	2,300±80	"	"
12	700±30	0.46±0.03	2,400±70	"	"
13	1,000±70	0.49±0.01	3,100±180	"	"
14	3,500±200	0.27±0.01	(19,000±1,200)*	安定化	處理 困難
15	3,000±500	0.24±0.01	(18,000±2,500)*	"	"

註 : * 表值는 V-I 曲線에서 計算한 것임.

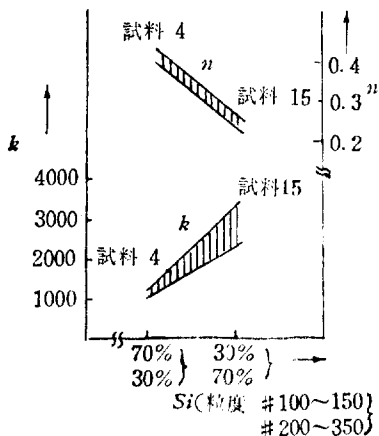


그림 4-1. SiC 粒度와 k, n 의 관계
Fig. 4-1. Measured relationships between the non-linear characteristics and the SiC particle size.

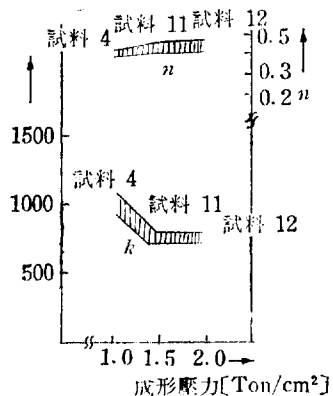


그림 4-2. 粘土量과 k, n 의 관계
Fig. 4-2. Measured relationships between the non-linear characteristics and the quantities of bentonite.

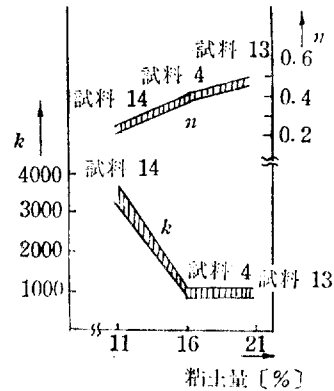


그림 4-4. 烧結溫度와 k, n 의 관계
Fig. 4-4. Measured relationships between the non-linear characteristics and the sintering temperature.

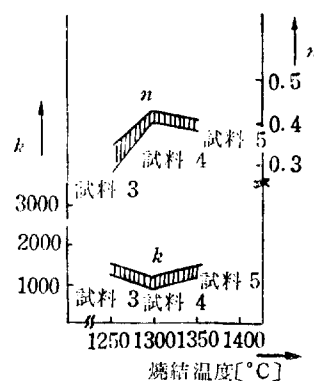


그림 4-5. 烧結時間과 k, n 的 관계
Fig. 4-5. Measured relationships between the non-linear characteristics and the sintering times.

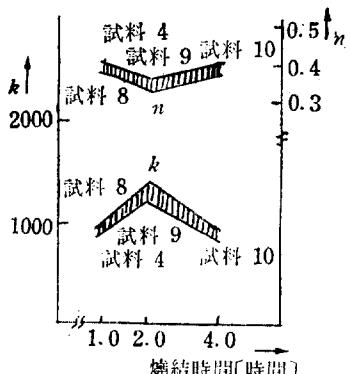


그림 4-3. 成形壓力과 k, n 的 관계
Fig. 4-3. Measured relationships between the non-linear characteristics and the pressure for shaping.

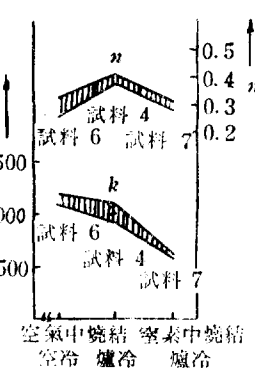


그림 4-6. 烧結雰圍氣 및 冷却方式과 k, n 的 관계
Fig. 4-6. Measured characteristics between the non-linear characteristics and the sintering surroundings.

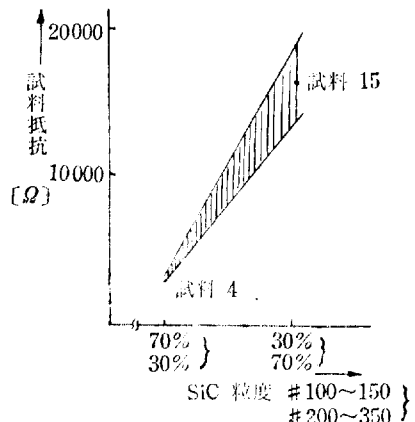


그림 5-1. SiC粒度와 試料抵抗의 關係[I=100mA時]
Fig. 5-1. Measured relationships between the resistance and the SiC particle size when the 100mA currents are supplied.

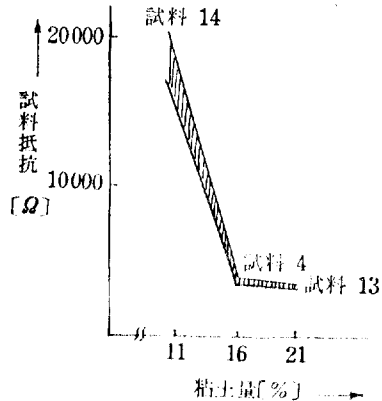


그림 5-4. 焼結溫度와 抵抗值의 關係[I=100mA時]
Fig. 5-4. Measured relationships between the resistance and the sintering temperature, when the 100mA currents are supplied.

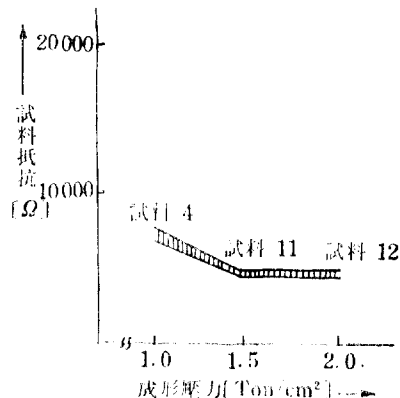


그림 5-2. 粘土量과 抵抗值의 關係[I=100mA時]
Fig. 5-2. Measured relationships between the resistance and the quantities of bentonite when the 100mA currents are supplied.

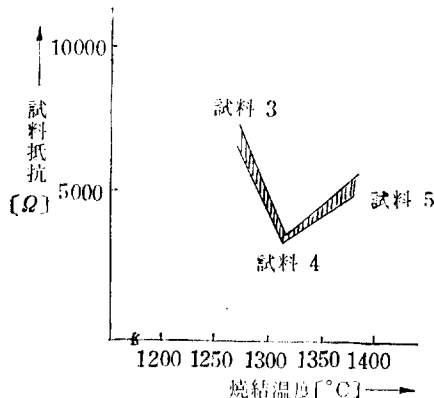


그림 5-5. 烧結時間과 抵抗值의 關係[I=100mA時]
Fig. 5-5. Measured relationships between the resistance and the sintering times when the 100mA currents are supplied.

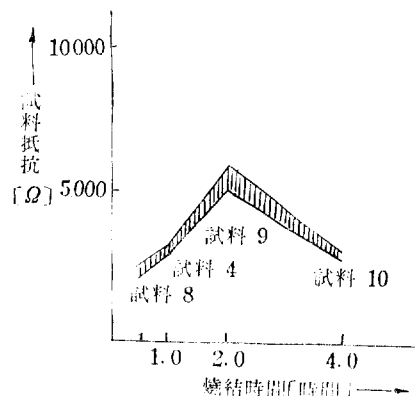


그림 5-3. 成形壓力과 抵抗值의 關係[I=100mA時]
Fig. 5-3. Measured relationships between the resistance and the pressure for shaping when the 100mA currents are supplied.

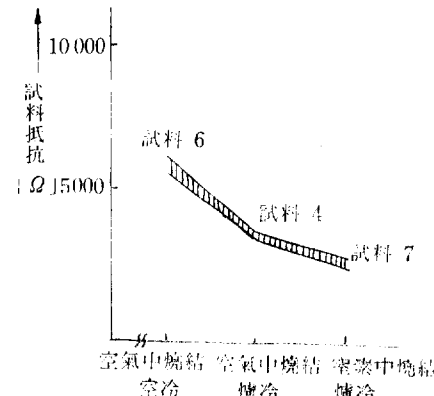


그림 5-6. 烧結環境과 抵抗值의 關係[I=100mA時]
Fig. 5-6. Measured characteristics between the resistance and the sintering surroundings when the 100mA currents are supplied.

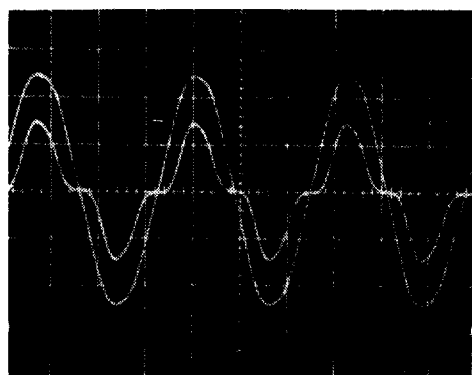
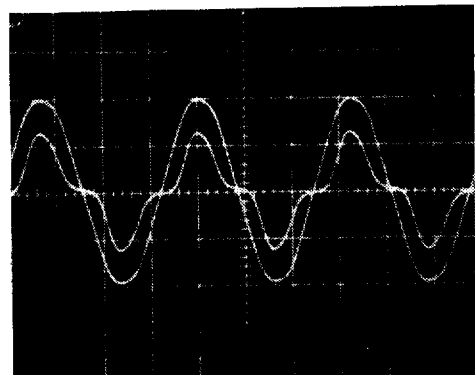
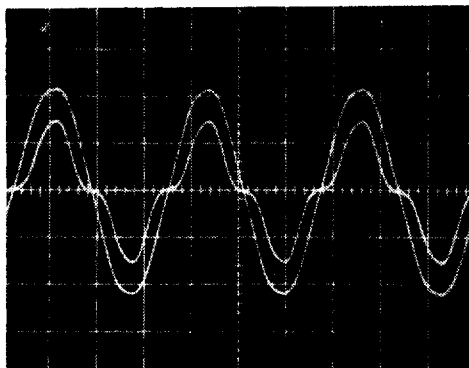
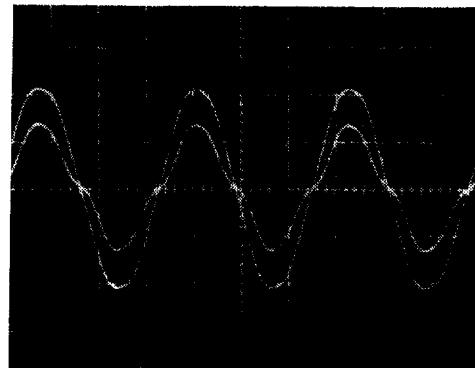
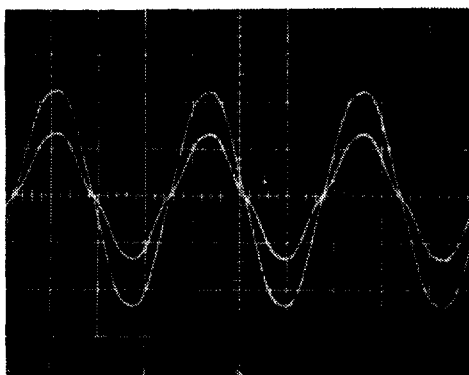
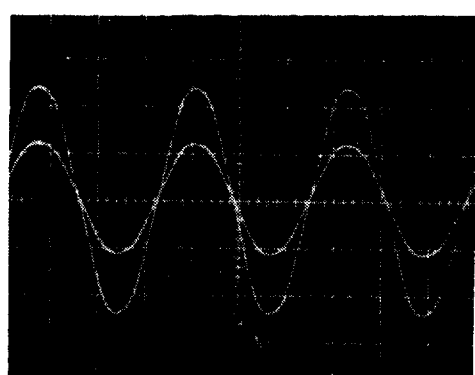
(1) $n=0.24$ 일 때(試料 15番)(2) $n=0.27$ 일 때(試料 14番)(3) $n=0.32$ 일 때(試料 9番)(4) $n=0.40$ 일 때(試料 4番)(5) $n=0.49$ 일 때(試料 13番)(6) $n=1$ 일 때($5k\Omega$ 純抵抗)

그림 6. 60Hz 交流電壓 印加時의 電流波形(波高值가 낮은 쪽이 電流波形임)

Fig. 6. Distortion characteristics of current waves vs. the nonlinear exponent n in SiC testpieces, when 60Hz AC voltages were supplied.

감소시키기 위해서試料의兩側接電面에는 그림 2에서 볼 수 있는 바와 같이 真空中에서 알루미늄蒸音을 행하였다. 이들은乾燥된 데시케이터속에 보관하였다가 전기특성실험을 행하였다.

(4) 試料의 전기특성실험

전기특성실험에 사용한 측정회로는 그림 3과 같으며 그 실험기기들은 표 4에 표시한 바와 같다. 試料兩端의印加電壓은 變壓器一次側에 설치한 variac에 의하여 조절되었으며 약 1분동안 400mA의 安定化電流(conditioning shots, formation)¹⁴⁾를 通電시킨 후에 電壓—電流關係를 측정하였다. k, n 측정용 전류의印加時間은 대략 1초 정도이었으며 가능한限發熱에 의한 특성변화를 감소시키기 위하여 한번 측정된 試料는 20°C의室溫에서 10~15분씩 방치해 두었다가 다시電流를印加하였다.

電流의 범위는 試料에 따라 다르지만 대략 4~12mA 정도로印加하였으며著者들은 Oscilloscope에 나타난 電壓—電流의 최대치를 각각 측정하였다.

(5) 실험결과

측정된 실험치는一旦兩對數方眼紙에 圖示되었으며, 이를圖上에서 산출한 k, n值의 算出平均值와 I=100mA時의 試料抵抗値가 표 5에 나타나 있다. 또한 그림 4와 그림 5에는 각 제조조건별로 k, n값 및 저항치의 변화特성을 圖示하였다.

그림 4와 그림 5에서 볼 수 있는 바와 같이 試料의非直線性은 각 제조조건에 따라서 크게 변화되었으며 k값은 1.4~5.0배, 그리고 n값은 1.1~2.0배나 변화됨을 알 수 있었다.

그림 6은 試料의非直線指數와導電電流의波形과의 관계를 Oscillogram으로 촬영한 것이며非直線性이 양호할수록電流波形은 第3高調波分에 의하여 더욱歪形(distortion)됨을 알 수 있다.

4. 摘 著

그림 4와 그림 5에서 볼 수 있는 바와 같이 SiC燒結抵抗體의非直線性은 그 제조조건에 따라서 크게 변화되는 바 이들의變化傾向을 검토해 보면 아래와 같다.

(1) SiC粒度와 抵抗特性과의 관계

그림 4-1과 그림 5-1에서 나타난 바와 같이 100~150 mesh의비교적넓은粗粒을 많이 사용한抵抗試料 4의 전기적 저항이 200~350mesh의細粒을 많이 사용한試料보다 훨씬 적다. 이와같은 이유는 SiC粒子間의接點數가細粒을 사용할수록 증가하므로 SiO₂酸化皮膜抵抗이증대되었음을 의미한다. 다만非直線指數n이細粒일수록 감소된 점은 특이한 현상이며 鶴見¹⁵⁾의 발표와相異하다. 일반적으로는細粒을 사용할 경우 SiC粒子

間의接點當印加電壓이 감소되므로 n값이 증가된다는 견해가 대부분이다. 따라서 본 실험결과는燒成直後에 1ma/cm²정도의低電流密度로非直線指數를 측정할 경우粒度가 증가하면 n값이 감소된다는 새로운 예를 제시하여 주고 있다.

(2) 粘土量과 저항특성과의 관계

그림 4-2와 그림 5-2에 圖示한 바와 같이 試料의結合劑인粘土量이 11%에서 16%로 증가할 경우에는 K 및 저항이 크게 감소하지만 16%에서 21%로 증대되면 저항은 감소되지 않고非直線性만 악화된다. 따라서粘土量의비율은 16%정도가 적절하며 만일非直線性만을重視할 때에는 그含量을 16%이하로 할 수도 있으나 이 때에는 試料의成形性을 향상시킬 수 있는添加劑가 필요하다.

(3) 成形壓力과 저항특성과의 관계

試料의成形壓力을 1.0ton/cm²~2.0ton/cm²정도로 변화시켜 본 결과 그림 4-3과 그림 5-3에 圖示한 바와 같이壓力이 증가하면非直線指數n이 증가하고 K值와抵抗値는 감소됨을 알 수 있다.

이와같은 이유는 아직까지 확실히 발표된 바 없으나著者の 견해로서는壓力이 증가함에 따라抵抗試料의밀도가증대되고따라서SiC粒子의接觸面積이커지기때문에저항이감소되고非直線性이악화되는것이아닌가추측된다.

(4) 燒結溫度와 저항특성과의 관계

그림 4-4와 그림 5-4에서 볼 수 있듯이 試料의燒結溫度를 변화한 결과抵抗値와非直線指數가 크게 변화되었다.

측정결과에 의하면燒結溫度가 1100°C이하일 경우에는燒結狀態가 불량해져서抵抗試料로 이용할 수 없으며 1100°C~1250°C정도에서는燒結은 가능하나 저항이너무커서 거의 절연체상태로 되기 때문에數千volt이상印加하여야 그非直線性을 확인할 수 있을 것으로생각된다.

따라서 본 연구의 경우에는 1,250°C~1,350°C의온도로燒結한試料만을 대상으로電壓—電流特性을 측정하였으며 그 결과 1,300°C부근에서 K=900~1,060, n=0.38~0.43의 비교적 저항이 낮은非線型抵抗體를얻어낼 수 있음을 알았다.

(5) 燒結時間과 特성변화

燒結溫度를 1,300°C, 成形壓力을 1ton/cm²정도로 유지한 다음燒結時間은 0.5시간~4시간 변화시킨 결과, 그림 4-5와 그림 5-5에서 볼 수 있는 바와 같이 2시간정도일 때 가장非直線性이양호해 점을 알 수 있었다.

(6) 燒結雰圍氣와 冷却方式에 따른 저항특성의 변화

그림 4-6과 그림 5-6에 図示된 바와 같이 窒素雰圍氣에서 烧結을 행하면 空氣中에서 烧結을 행하는 것보다 非直線性이 향상되고 抵抗值도 감소된다. 이와 같은 이유는 주로 烧結中에 발생되는 SiC의 酸化現象이 窒素雰圍氣下에서는 크게 抑制되기 때문이라고 생각되며 불필요한 SiO_2 酸化皮膜의 生成이 감소되기 때문에 抵抗值도 감소된다고 추측된다.

또한 냉각방식은 공기중에서 急冷하는 것이 爐中에서 徐冷시키는 것보다 試料의 非線型特性을 향상시킨 점으로 보아 냉각시간을 너무 길게 할 필요가 없다고 생각된다.

(7) 非直線性과 電流波形과의 관계

그림 6에 図示된 바와 같이 非線型抵抗素子에 흐르는 交番電流의 波形은 非直線性이 양호할수록 歪曲現象을 일으킨다. 따라서 電流의 実効值를 산출하기가 매우 곤난하여 본 연구에서는 Oscillogram으로 측정된 최대치를 이용하여 電壓-電流關係를 검토하였다.

(8) 衝擊電流에 의한 安定化處理問題

우리나라에는 아직 衝擊大電流 발생장치가 없으므로 본 실험에서는 電氣的 安定化處理를 交番電流로 행하였다. 그러나 앞으로는 衝擊大電流-電壓特性을 시험하여 安定化 效果에 관한 실험을 추가하여야 할 것이며 그래야만 본 試料가 避雷器用 特性要素로서도 가치가 있는지의 여부를 판별할 수 있다.

5. 결 론

본 연구결과로 얻어진 주요 결론은 다음과 같다.

(1) Siliconcarbide 烧結抵抗體의 非直線指數는 SiC粒子의 直徑, 粘土量, 成形壓力 및 烧結溫度, 冷却時間等에 비례하며 烧結時間이 2시간 정도일때 가장 낮은 값을 나타낸다.

(2) Siliconcarbide 烧結抵抗體의 非直線性은 非酸化性 烧結雰圍氣에서 烧結이 행하여질 경우 크게 향상된다.

(3) Siliconcarbide 烧結抵抗體의 非直線係數 K 와 100mA 導電時의 전기적 저항은 SiC粒子의 直徑, 成形壓力 및 冷却時間에 반비례한다. 또한 烧結溫度가 1300°C 정도일 경우에 저항치는 최소치에 달하여 烧結溫度가 1300°C 를 넘으면 저항은 다시 증가한다.

(4) Siliconcarbide 烧結抵抗體의 저항은 非酸化性 분위기에서 烧結을 행할 경우 감소한다.

참 고 문 헌

- (1) Fink, D. G. and Carroll, J. M.: Standard Hand book for Electrical Engineers. McGraw-Hill

- Book Co., Ltd., pp. 4~95, New York (1968)
- (2) McEachron, K. B.: A New Material for Lightning Arresters. GE Review, Vol. 33, No. 2, pp. 92~99 (Feb., 1930)
- (3) Frosch, C. J.: Improved Silicon Carbide Varistors. Bell Lab. Record, p. 336 (Sept., 1954)
- (4) 鶴見・川俣・笠井: Sic バリスタによる 電氣接點の 火花消去について. 日本 電氣學會雜誌, Vol. 74, No. 788, pp. 535~539 (May, 1954)
- (5) Dienel, H. F.: Silicon Carbide Varistor's Properties and Construction, Bell Lab. Record, p. 407. (Nov., 1956)
- (6) Gopalakrishna, H. V.: Silicon Carbide and Its Use as a Varistor Material. Journal of the Institute of Engineers (India), Vol. 48, No. 9, p. 505~515 (1968)
- (7) Slepian, J., Tanberg, R., and Krause, C. E.: Development of the New Avtovalve Arrester. T. A. I. E. E., Vol. 49, p. 401 (April, 1930)
- (8) 鳩山・菊地: カボランダム 單結晶의 電氣的 性質. 電氣試驗所 葉報, Vol. 14, No. 7, pp. 14~18 (July, 1950)
- (9) Kendall, J. T.: Electronic Conduction in Siliconcarbide. The Journal of the Chemical Physics, Vol. 21, No. 5, pp. 821~827 (May, 1953).
- (10) 法貴・鶴見・笠井・戸塚・副島: 避雷器抵抗體의 試作研究. 電氣試驗所 葉報, Vol. 15, No. 8, pp. 60~67 (Aug., 1951)
- (11) Schwertz, F. A. and Mazenko J. J.: Nonlinear Semiconductor Resistors. The Journal of the Applied Physics, Vol. 24, No. 8, pp. 1015~1024 (Aug., 1953)
- (12) 龜田・高松・永田: レジスト バルブ 抵抗體. 東芝レビュ--, Vol. 11, No. 3, pp. 263~271 (1956)
- (13) 鶴見: Sic 非直線抵抗體に 關する 實驗的 研究. 電氣試驗所 研究報告, No. 612, pp. 1~55 (Sept., 1961)
- (14) 日本 避雷器専門委員會: 避雷器 特性要素に 關する 最近の 諸問題. 電氣學會 技術報告, 第68號, pp. 26~49 (May, 1965)